



Efekty příčných staveb na morfolologii štěrkonosných koryt - příklady z Karpat

Jan Hradecký

Tomáš Galia - Václav Škarpich - Zdeněk Přibyla

CZECH RIVERS

<http://czech-rivers.blogspot.cz/>

Krajina se mění, nároky člověka se mění...



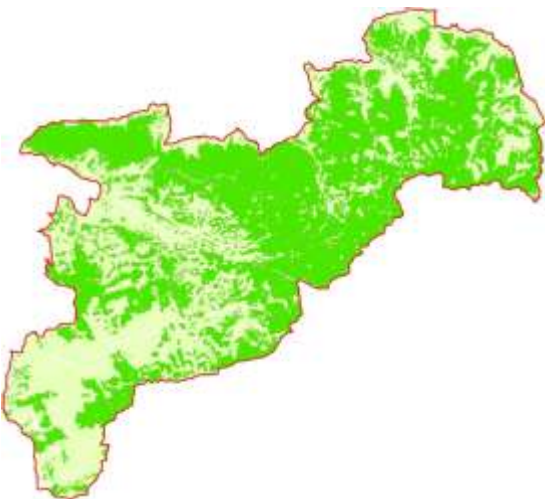
Vsetínská Bečva



Dolní Rozpítý



Vsetínská Bečva



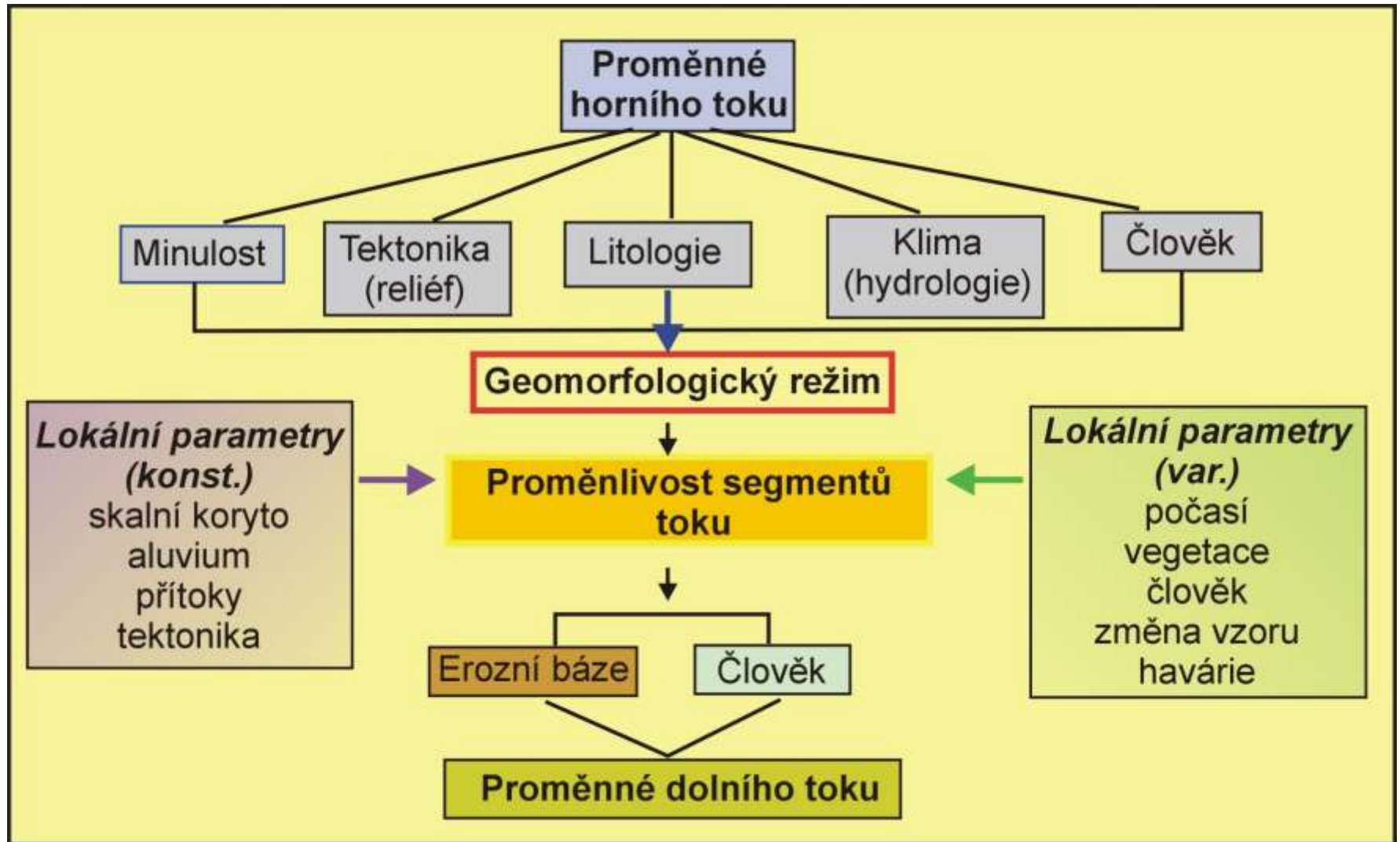
Stav lesa v letech 1876-78



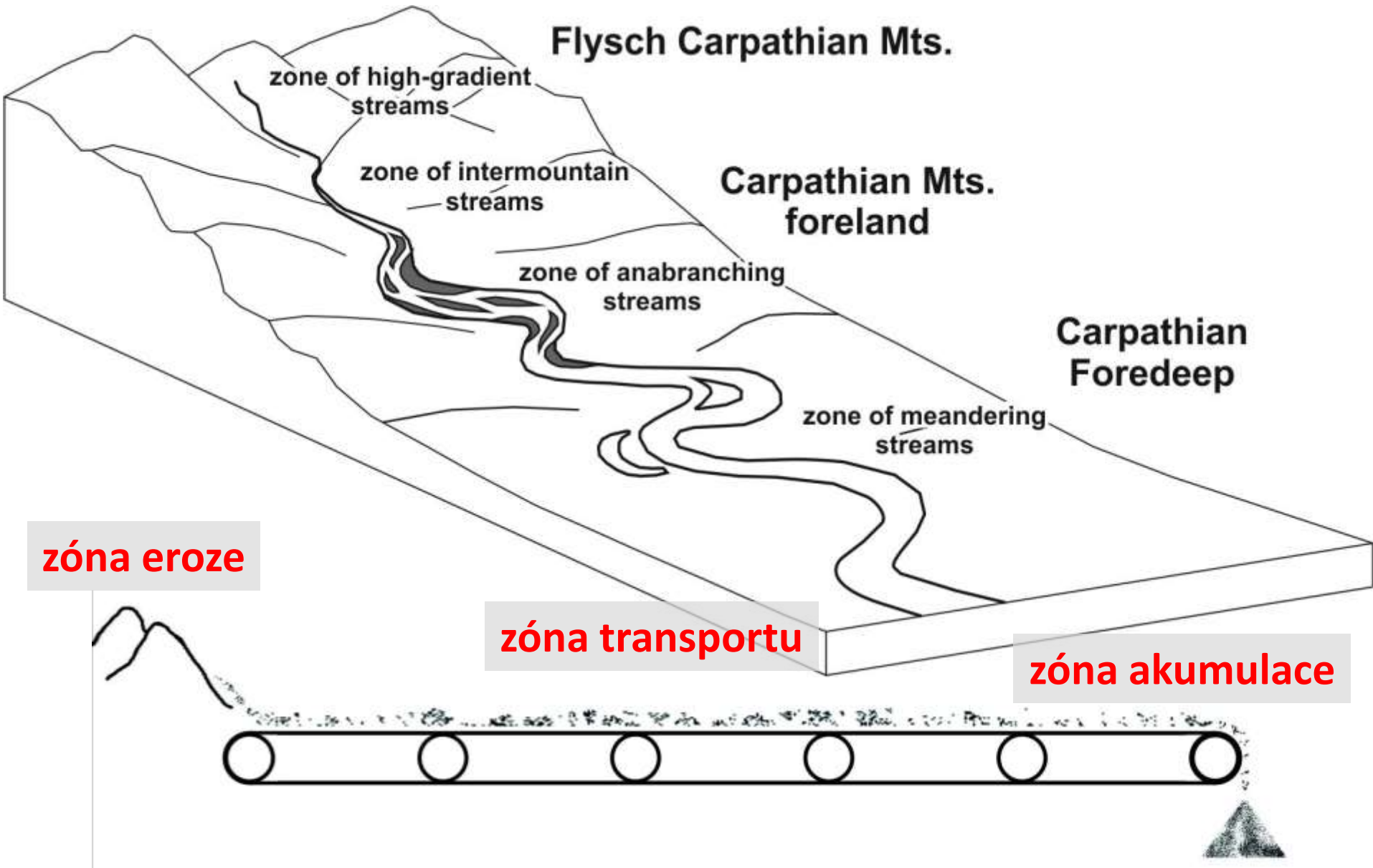
...a současnost

...a řeky reagují

Proč jsou řeky jiné?



Říční kontinuum



Říční krajina a člověk

Klimatická změna

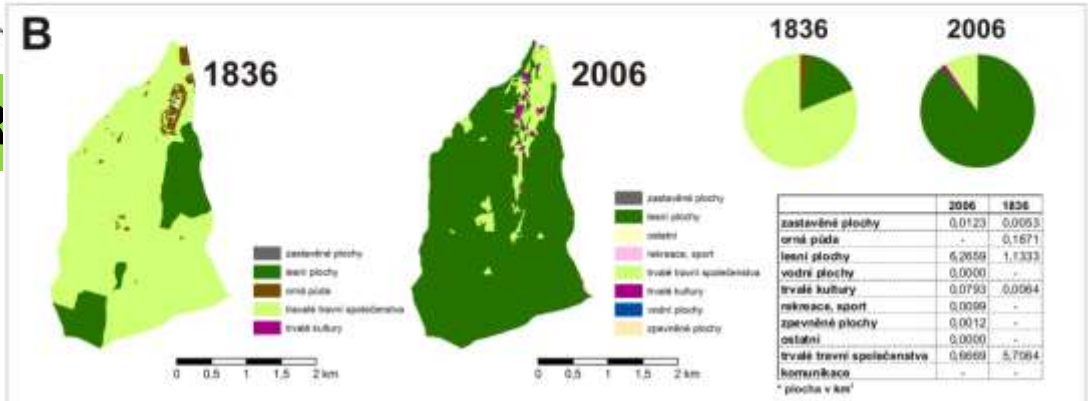
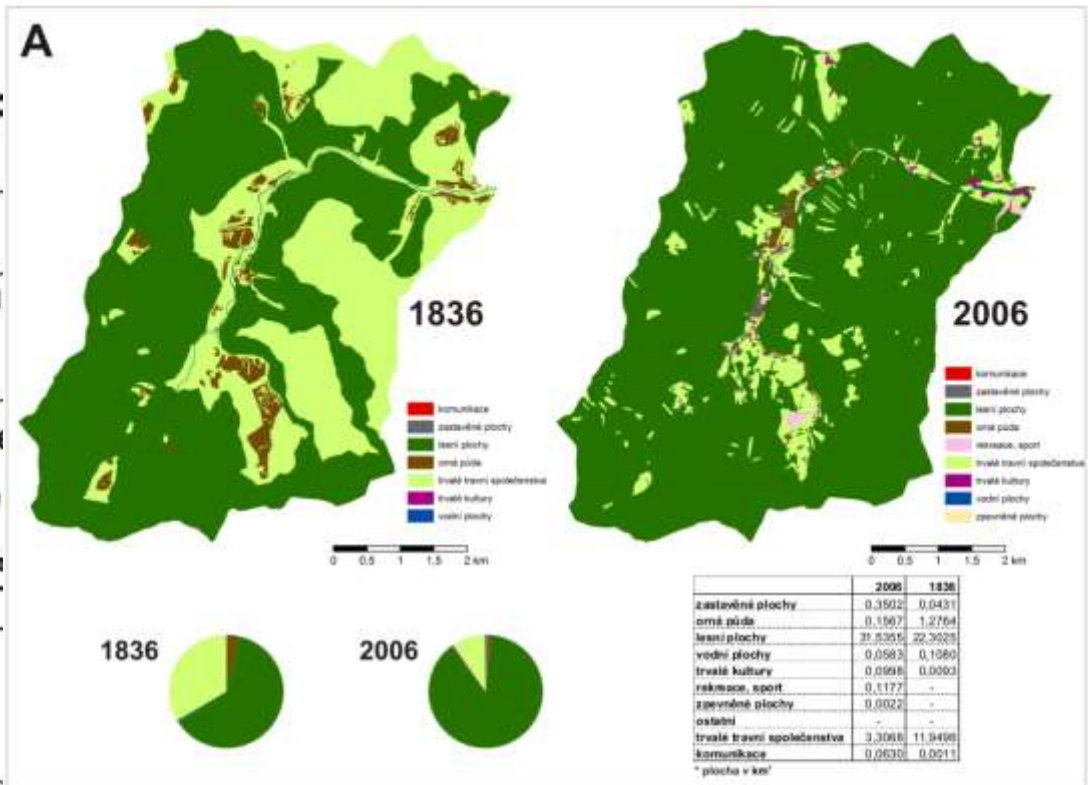
Odlesnění

Zemědělská činnost

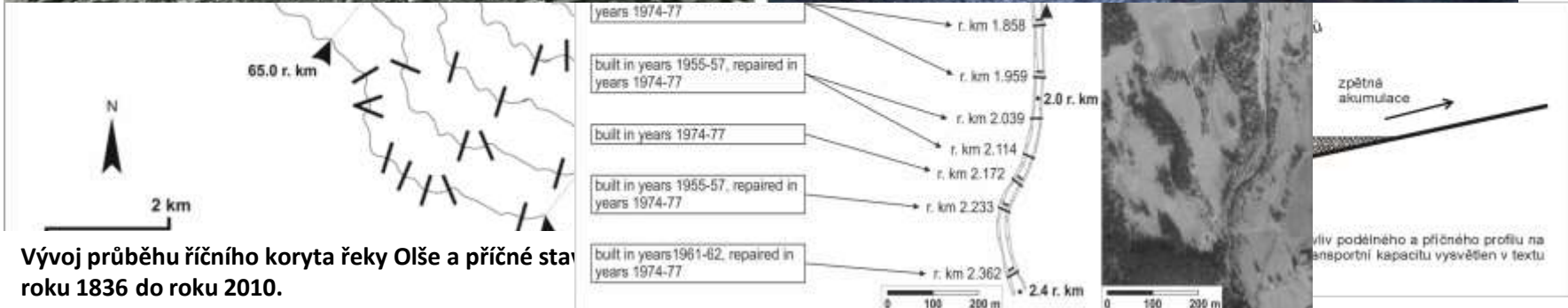
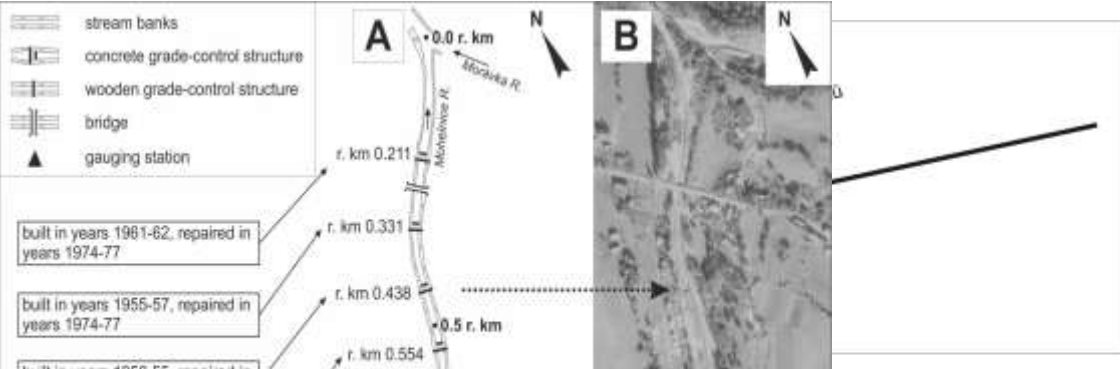
zone of high-gradient streams

zone of intermountain streams

zone



Vytvořili jsme překážky - úmyslně

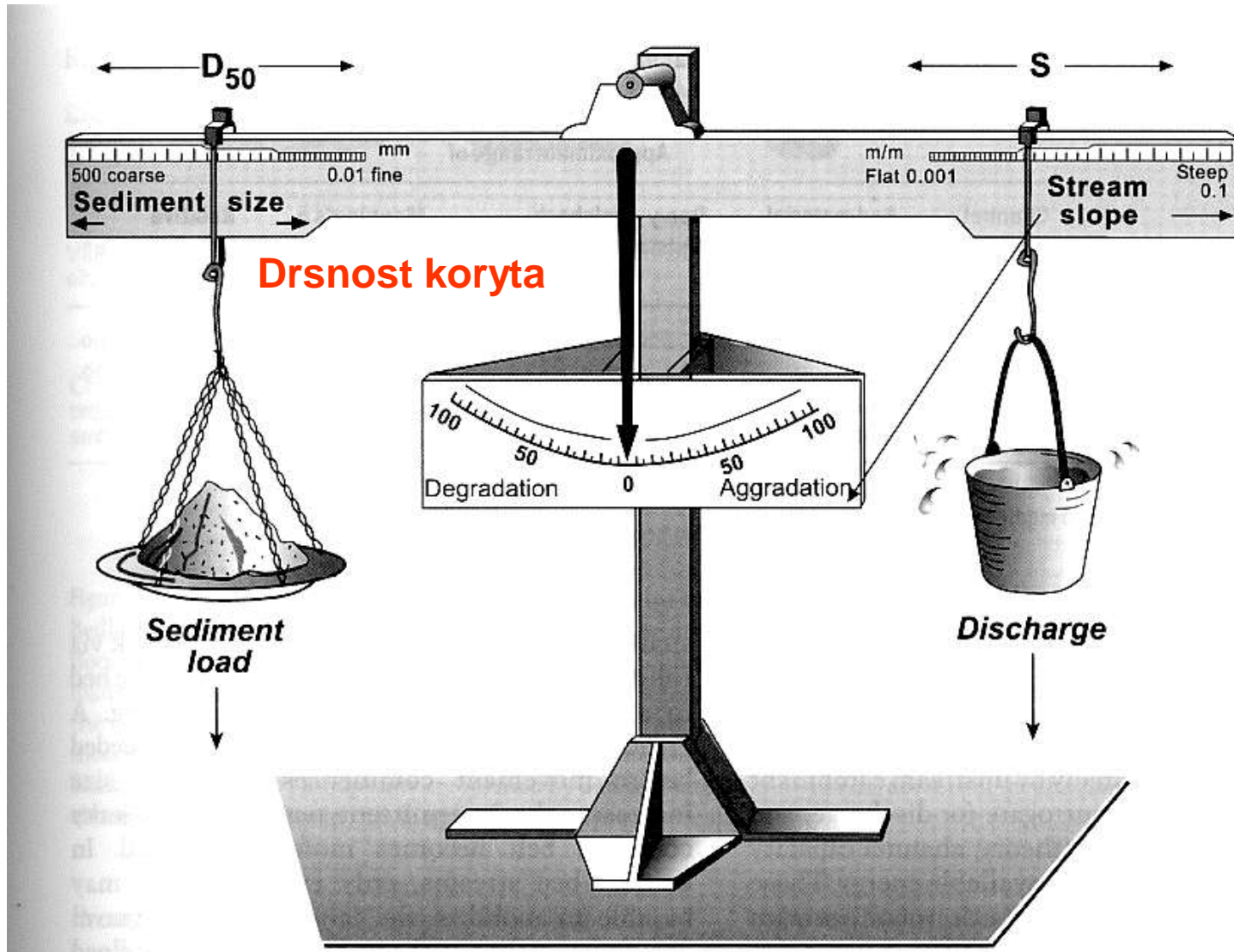


Vývoj průběhu říčního koryta řeky Olše a příčné stavby od roku 1836 do roku 2010.

vliv podélného a příčného profilu na transportní kapacitu vysvětlen v textu

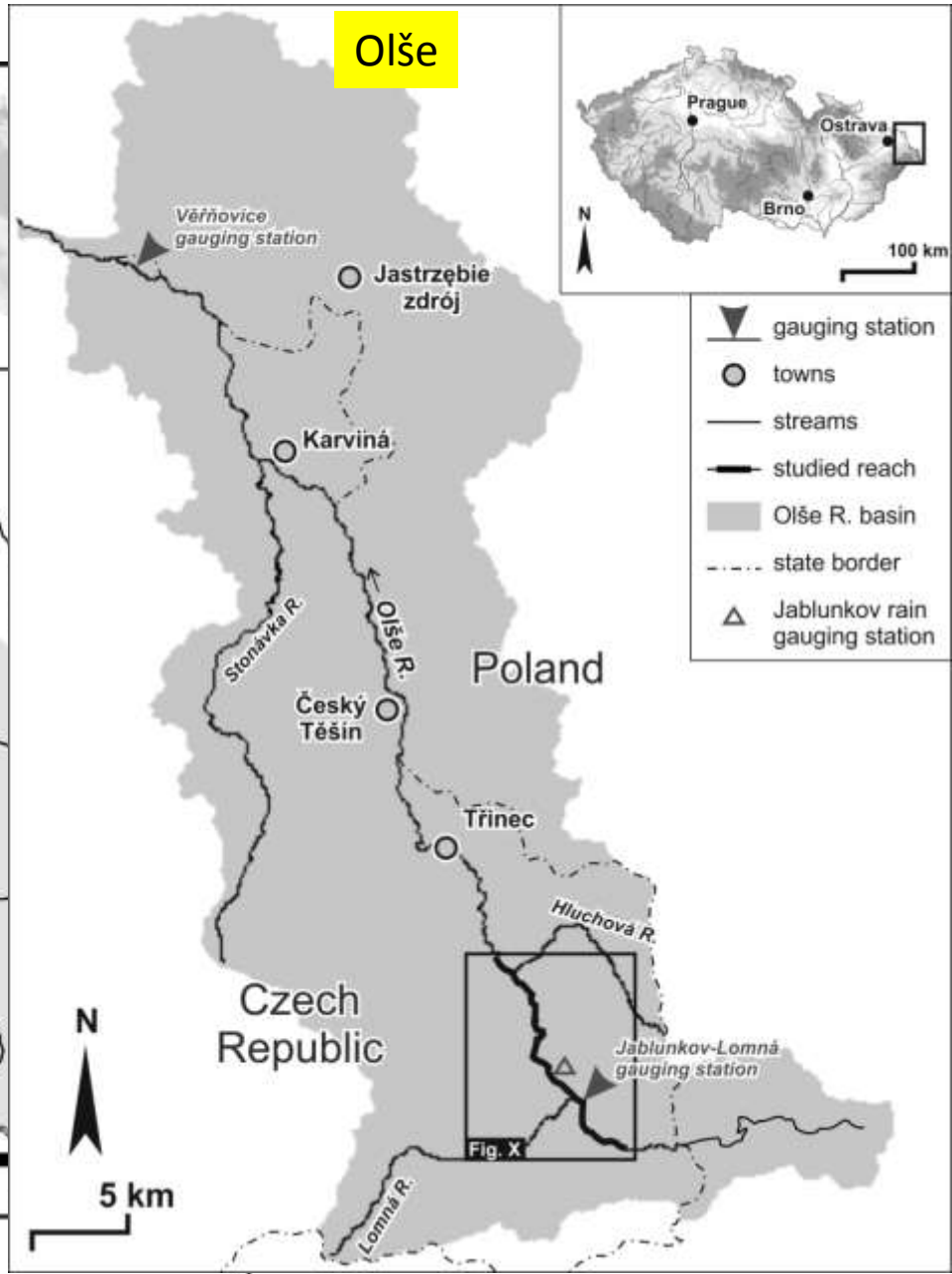
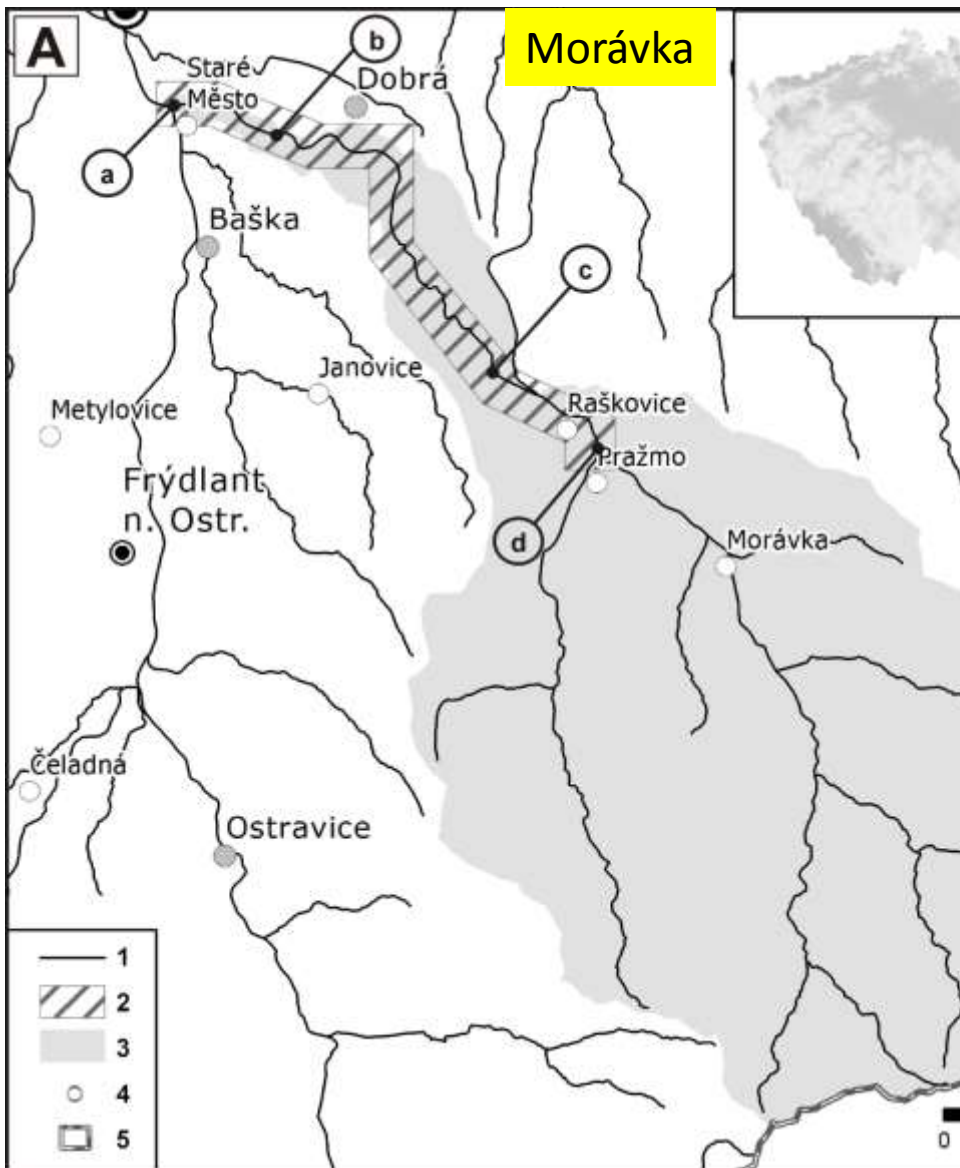
Fluviální systém – otevřený systém

R Ů
S T
O D
P
O R
R
U
P
R
O
U
D
Ě
N
Í



Z
V
Ě
T
Š
O
V
Á
N
Í
E
N
E
R
G
I
E
T
O
K
U

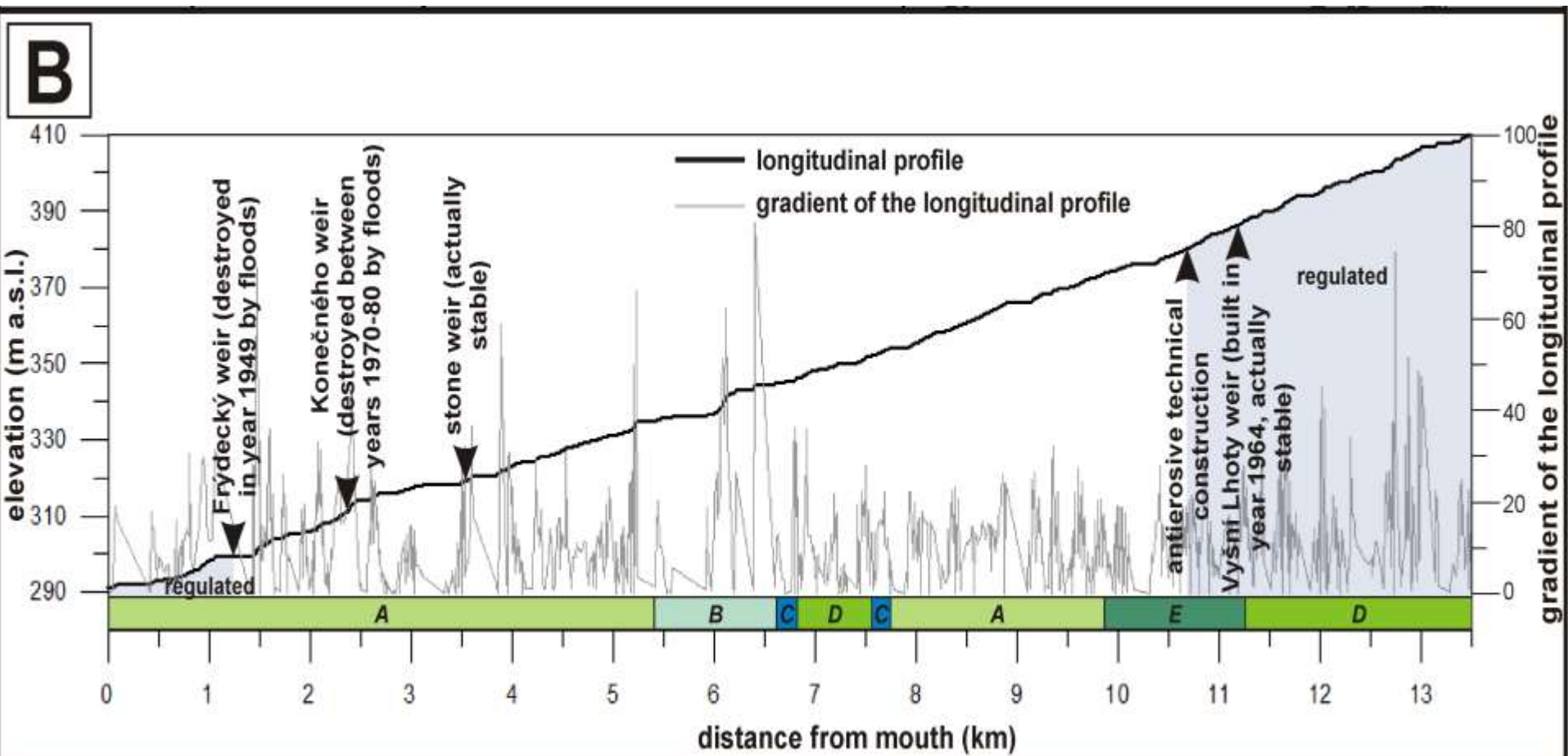
Zájmové území





...referenční stav

Podmínky v rámci LP



A pískovce - jílovce)

B jílovce

C vápnité pískovce a vápence

D pískovce, jílovce, slepence

E jílovce

Minulost

1912



Mohelnice R. 0.0 – 1.0 r. km

1946



Morávka R. 7.0 r. km

1970



Olše R. 57.0 r. km

2010



Olše R. – 58.49 r. km

2011



Morávka R. 8.0 r. km

2010



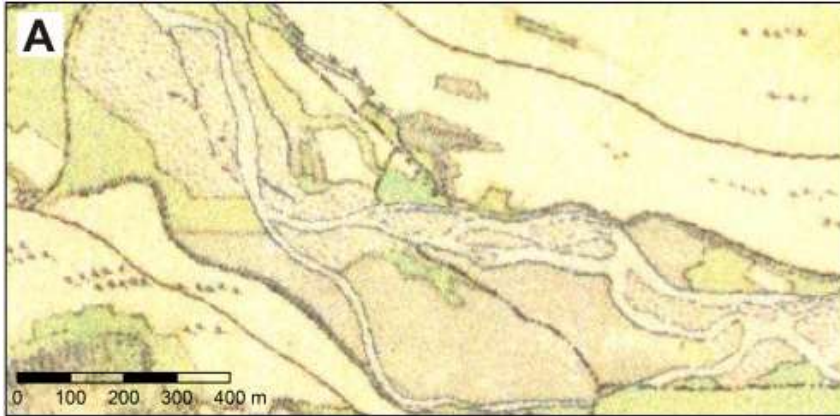
Morávka R. 2.3 r. km

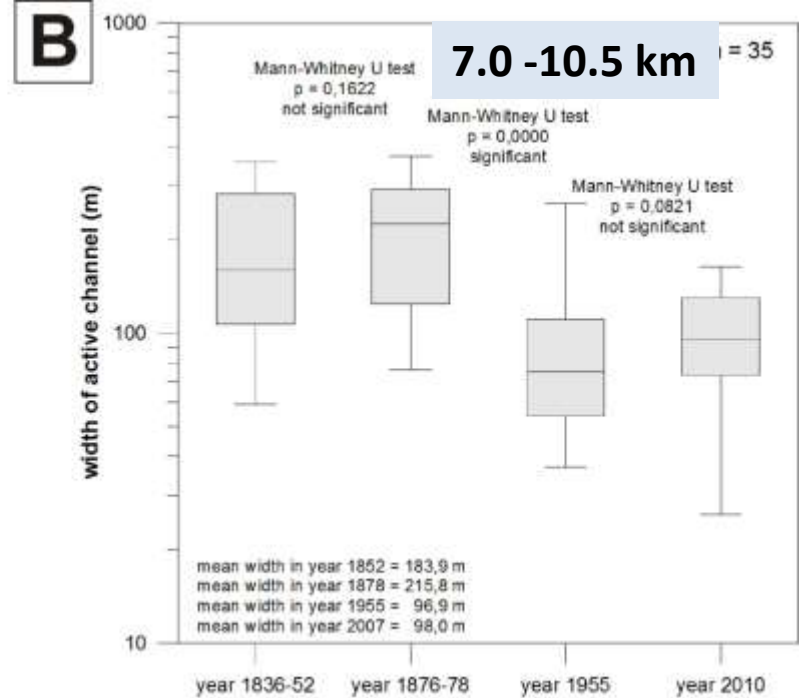
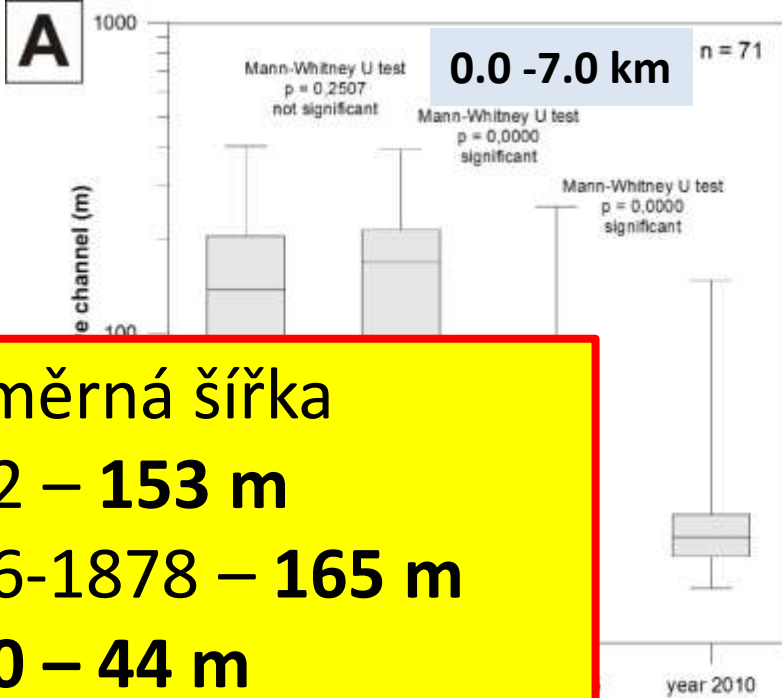
2010



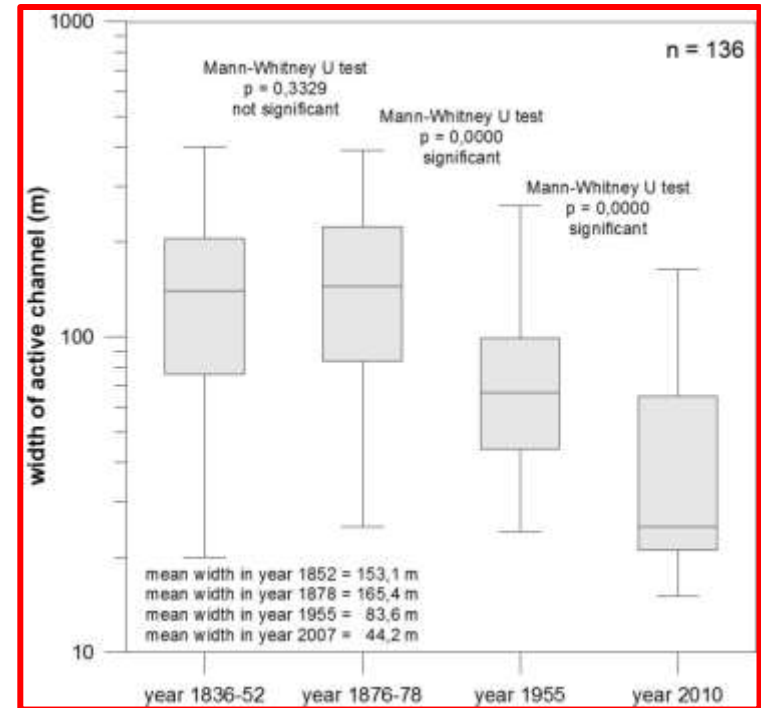
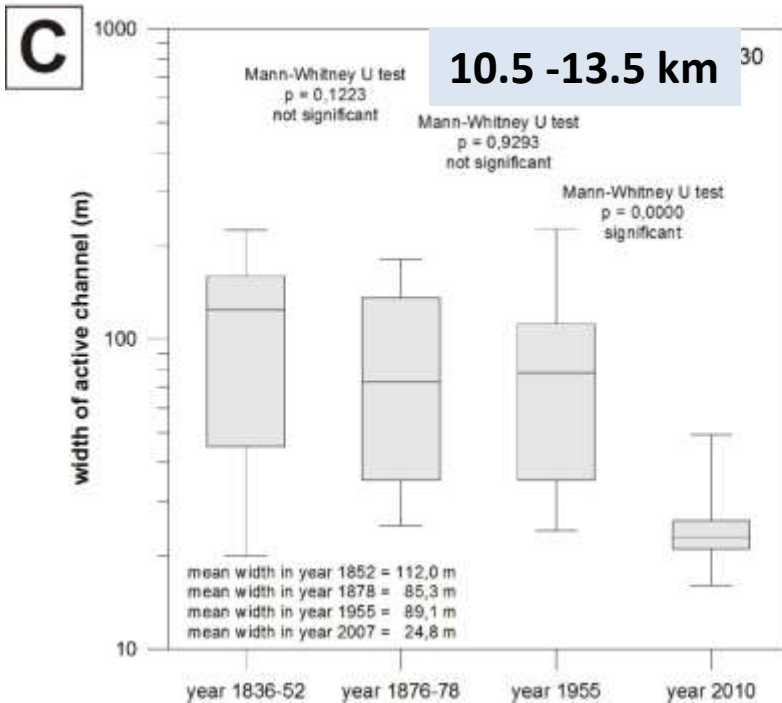
Olše R.- 58.31 r. km

Aktivní šířka koryta





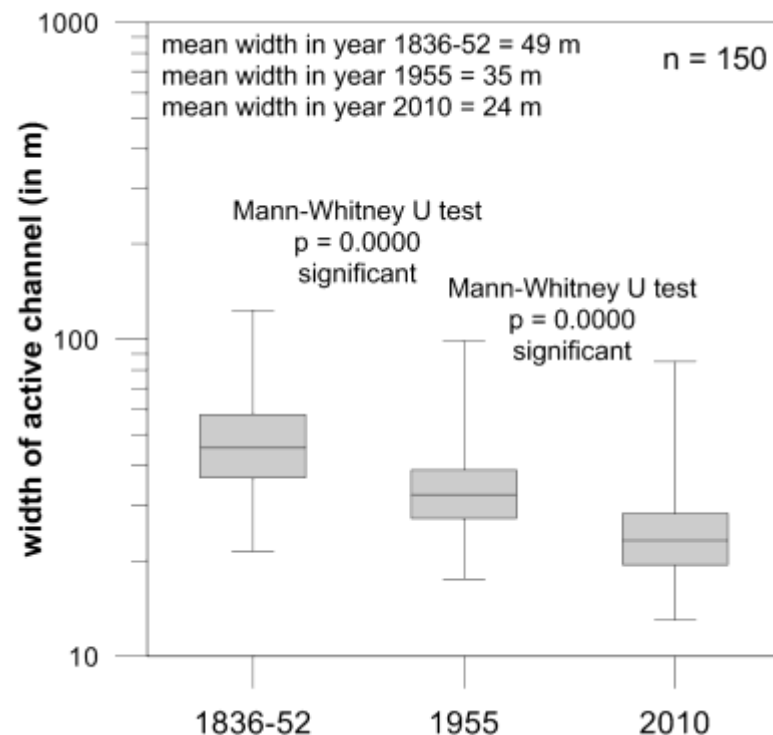
Průměrná šířka
1852 – **153 m**
1876-1878 – **165 m**
2010 – **44 m**



Total reach length

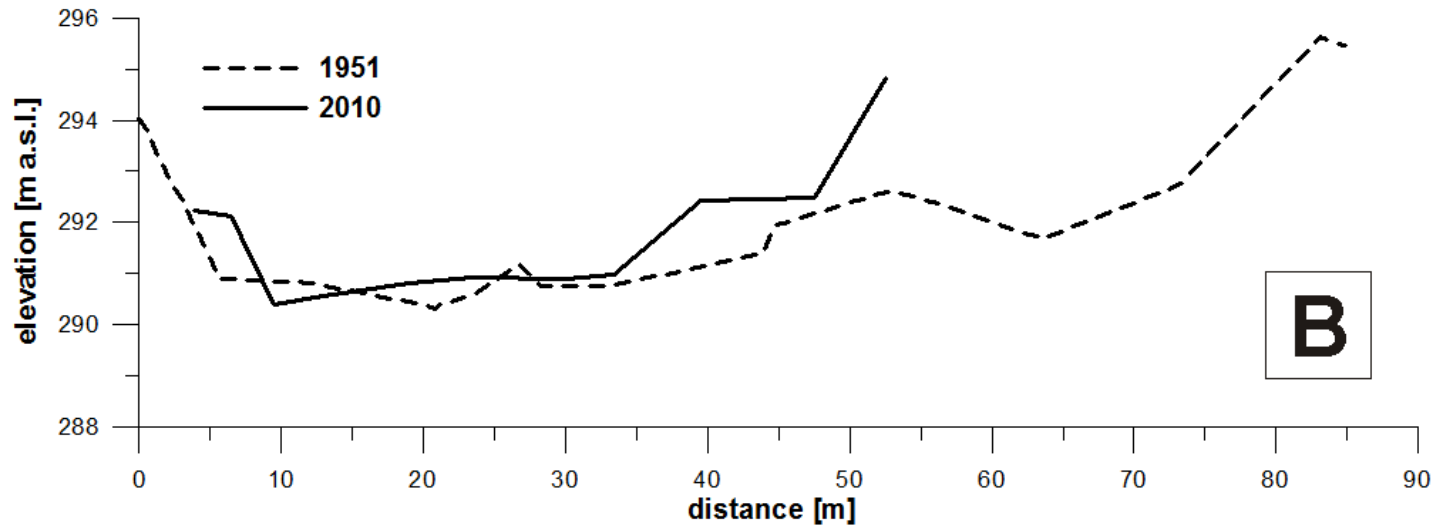
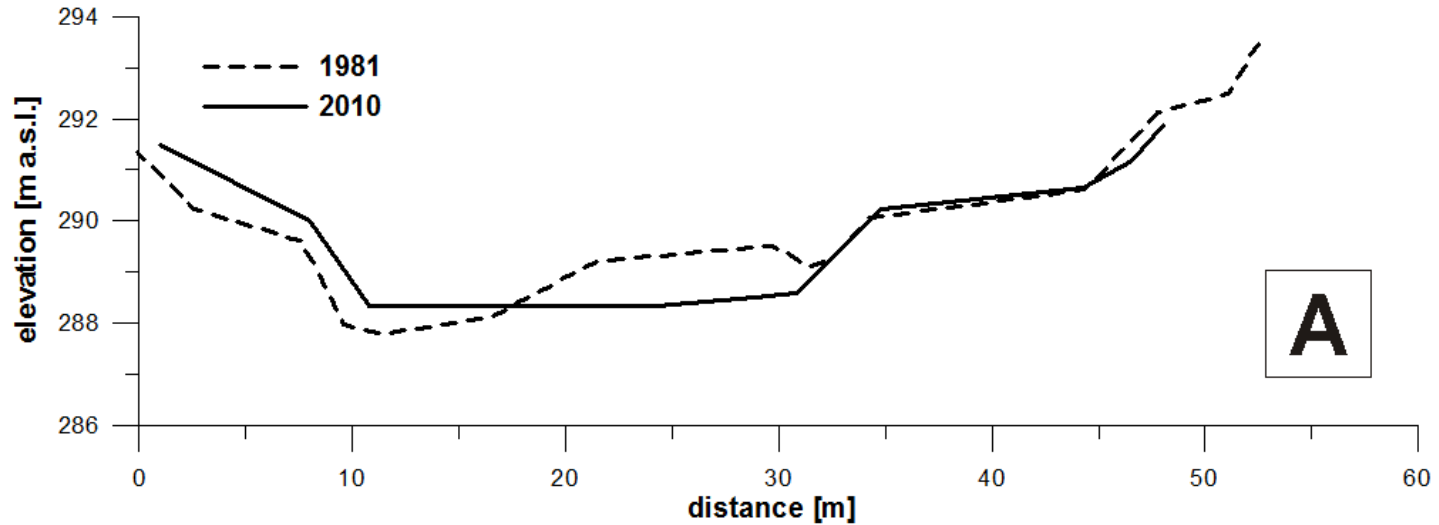
Změny v šířce aktivního koryta

- Výrazné zúžení v období 1836-1853 až 2010
- Průměrná šířka se ze 49 m v letech 1836-1852 snížila na 35 m v roce 1955 a následně na 24 m v roce 2010



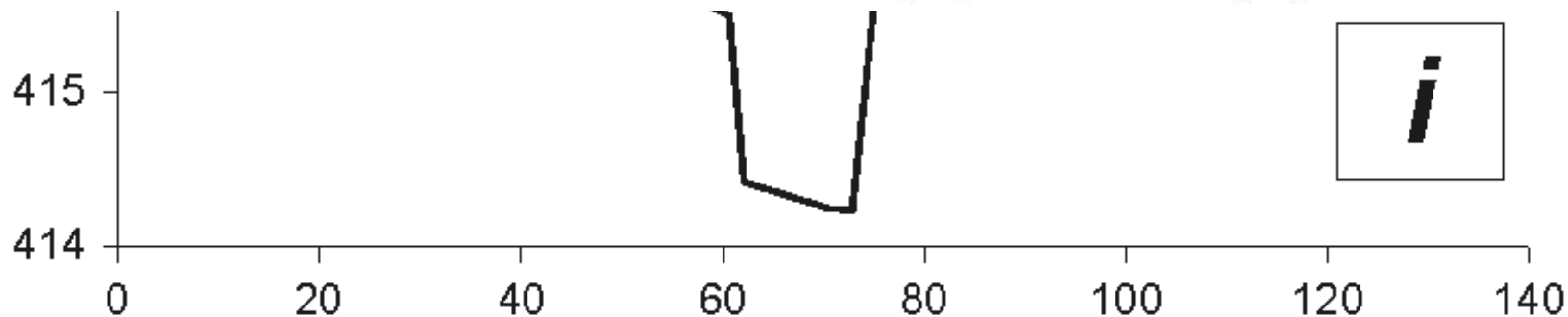
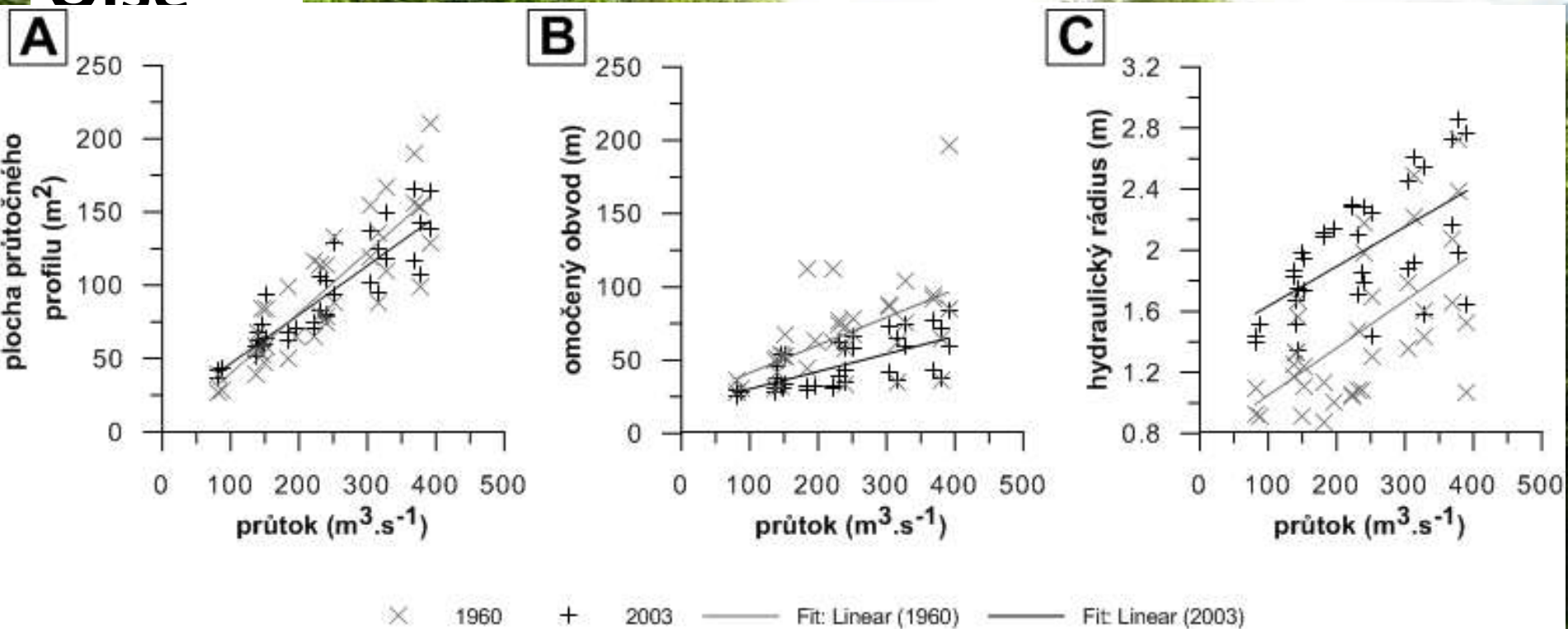
Changes in the active channel width between 1836 and 2010 for the Olše R. whole studied reach; n – number of measured transects in the studied reach; p – results of the non-parametric statistical Mann-Whitney U-test, presenting the significance and insignificance of the differences between individual active channel widths in given periods; the box plot shows the span of measured widths between the lower and upper quartiles in given periods.

Morfologie koryta

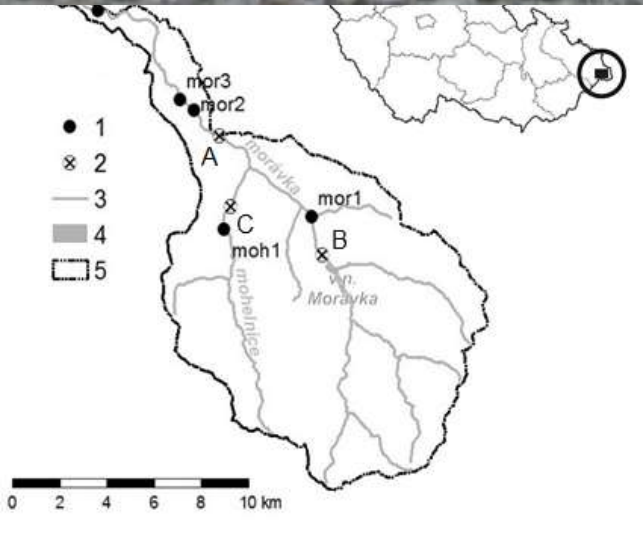
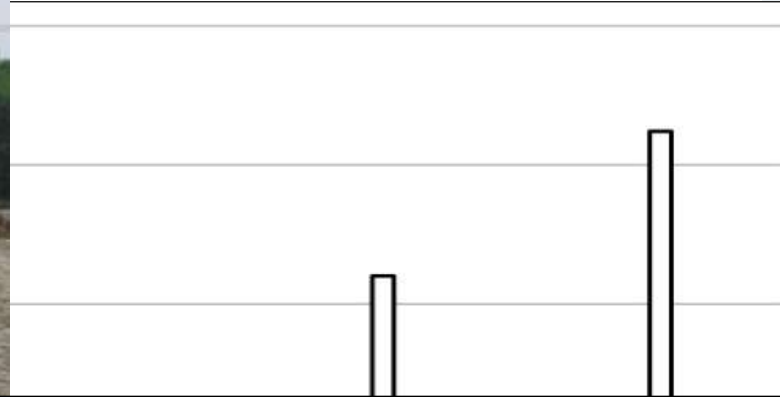


Soustředili jsme energii...

Olše



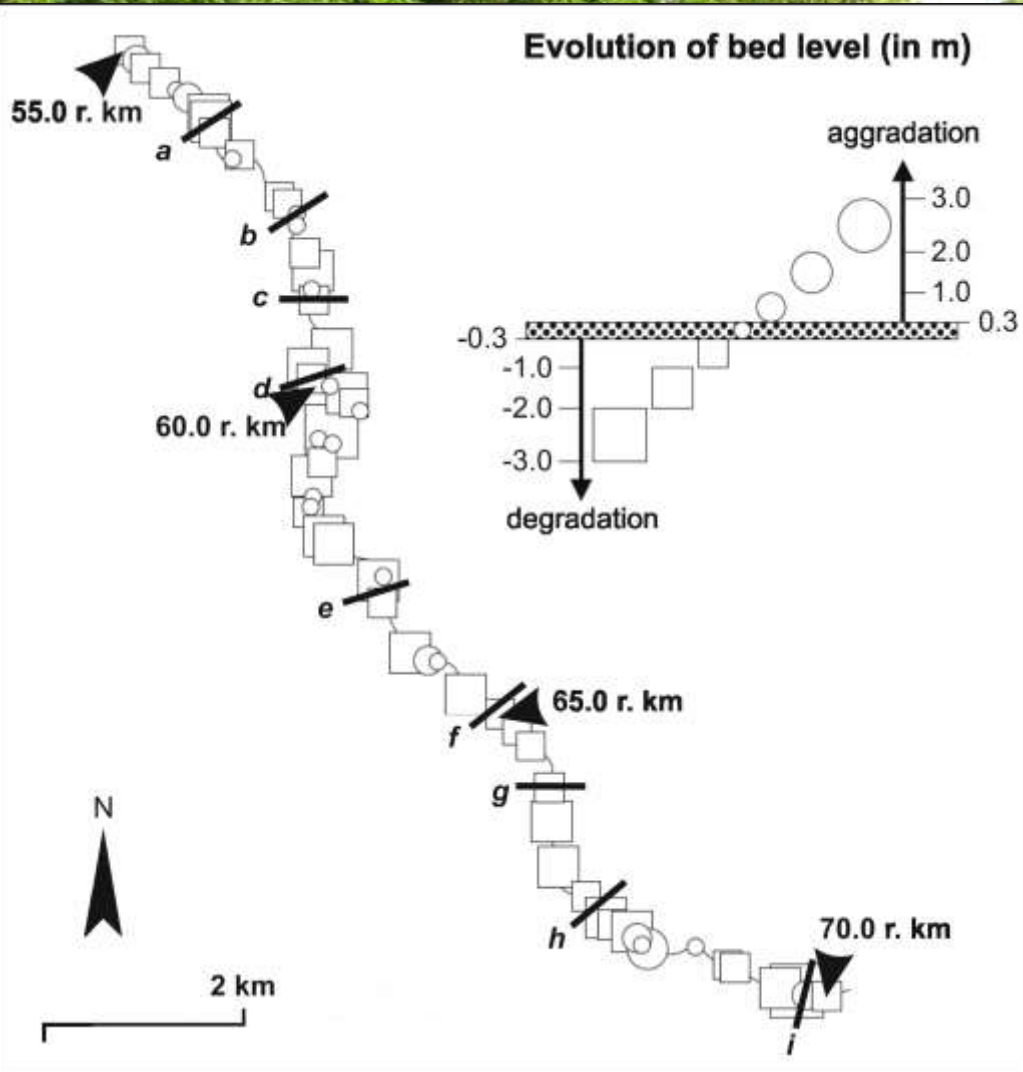
Modelování transportu sedimentů...



Jednotkový v. 25 0



Změnili jsme vývoj...



- Zkrácení toku o 11%
- **Větvící se koryto jsme změнили na jednoduché,**
- **Pouze na 1.55 km (10.3 % studovaného úseku) není zahloubení nebo jen nízká akumulace,**
- **Největší akumulace = 68.85 r. km- 2.50 m**
- Největší zahloubení - 60.83 r. km - **2.30 m**
- **Průměrné zahloubení koryta - 0.54 m (1.25 cm za rok)**

A

1955



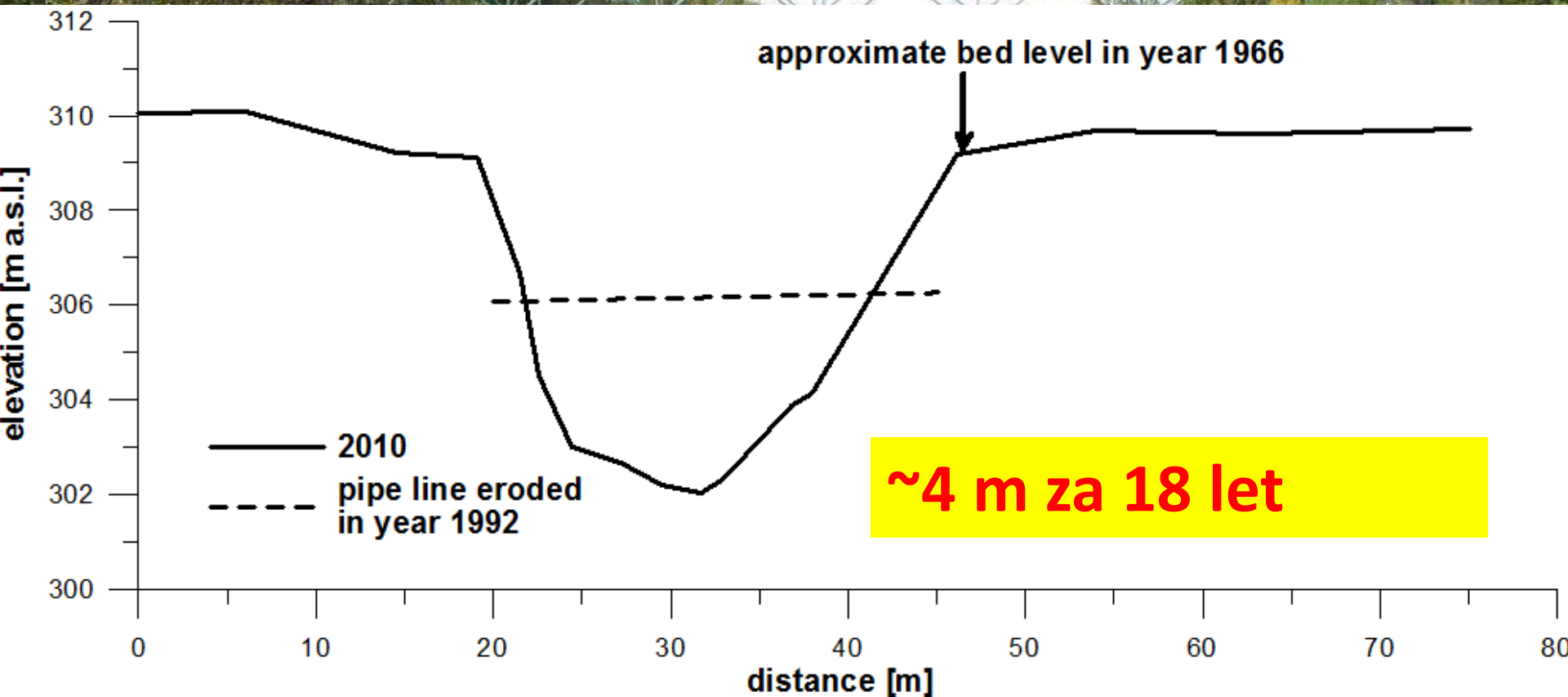
B

2009





Intenzita hloubkové eroze



Monitoring dynamiky koryta

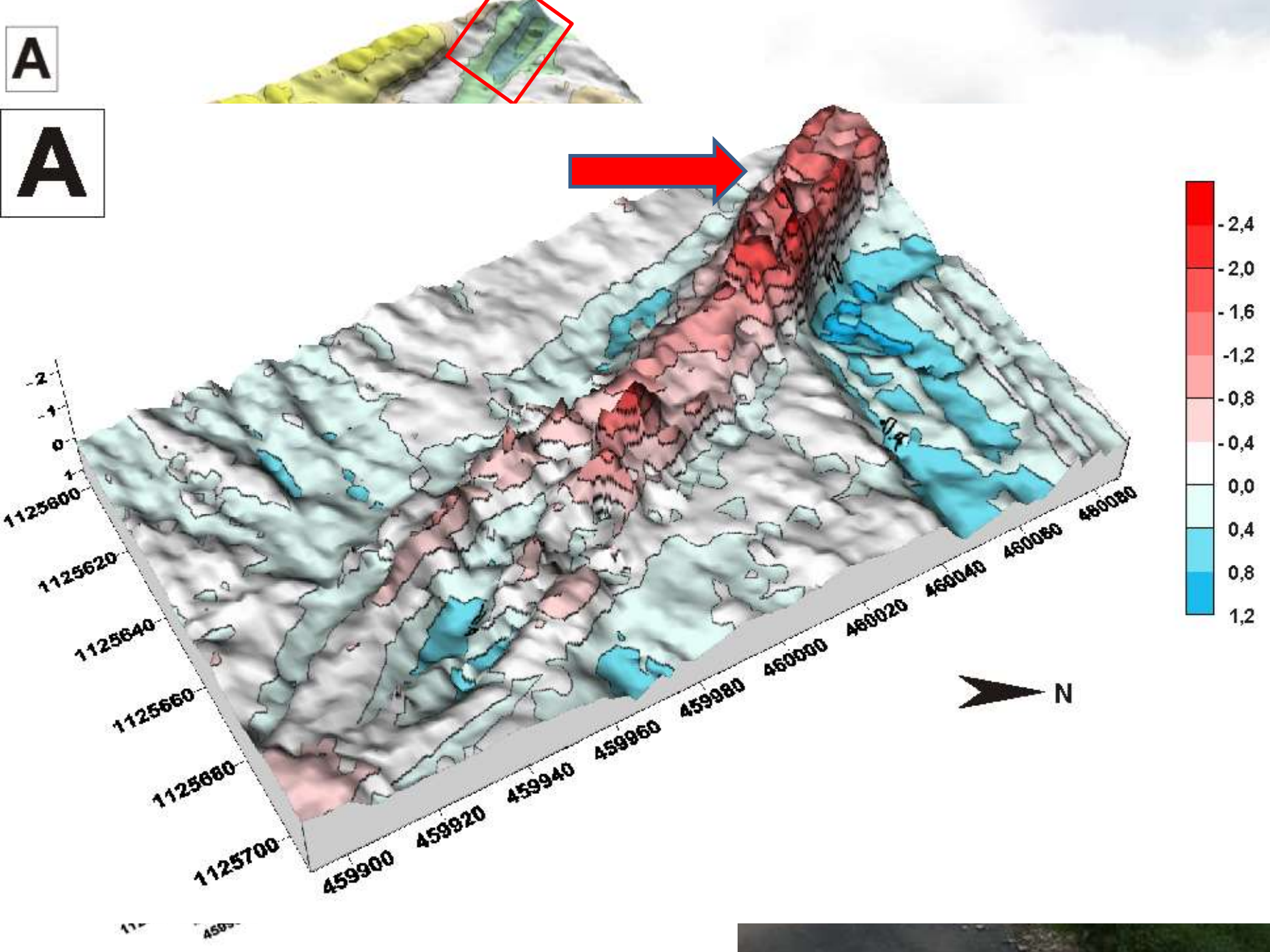




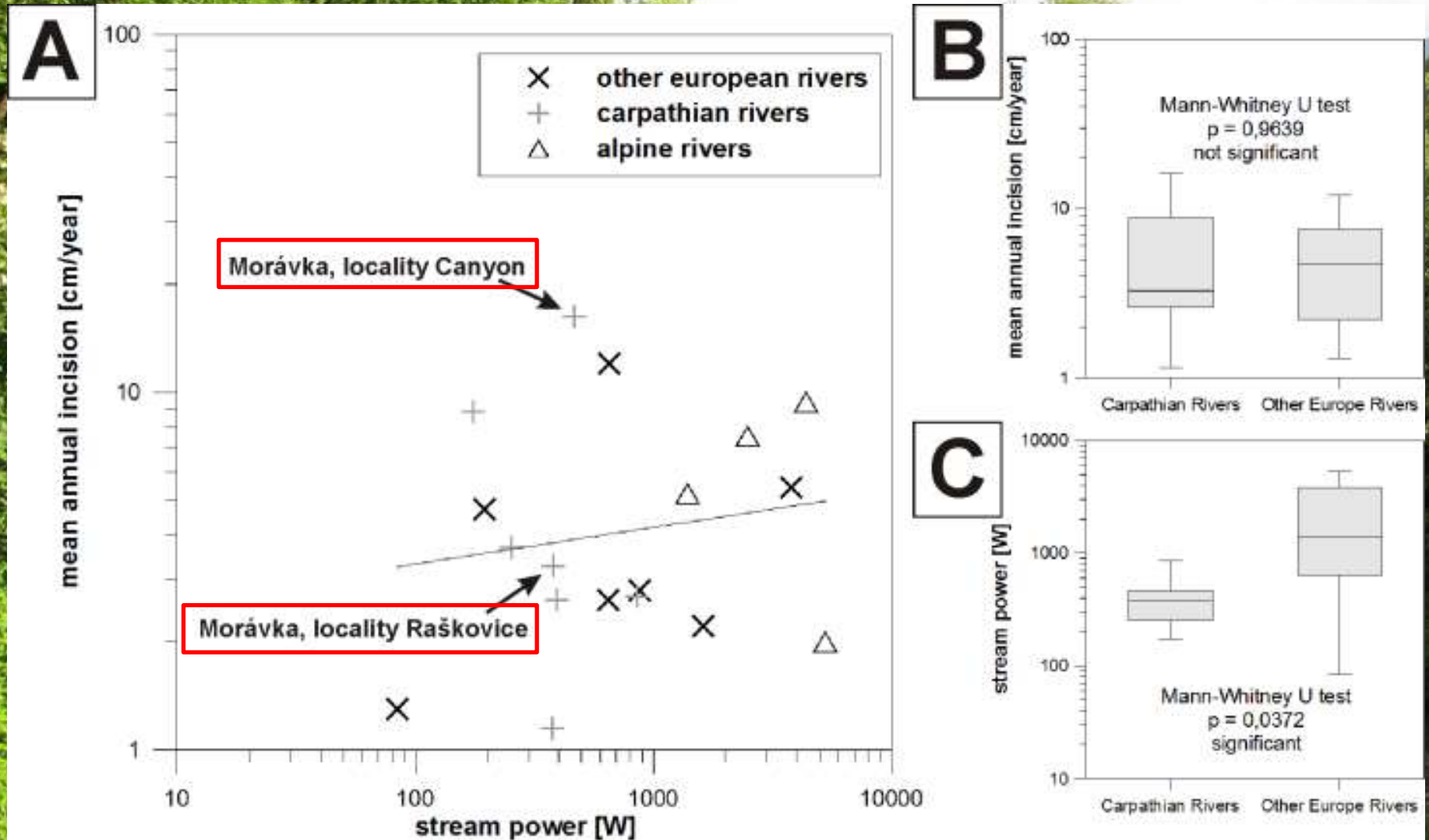


???



A**A**

Srovnání...



Beskydské štěrkonosné toky vs. Evropa

Table 4

Documented examples of the vertical change of bed level and basic characteristics of selected European rivers.

River	Region	Locality	Mean annual incision (cm/year)	Channel slope – S (m/m)	Drainage area – A (km ²)	Mean annual discharge – (m ³ s ⁻¹)
Drome	Alps (France)	Upstream reach	5.22	0.007500	1147	18.6
Brenta	Alps (Italy)	Barziza	7.54	0.003500	1567	71.0
Piave	Alps (Italy)	Lower course	2.00	0.004000	3899	132.0
Tagliamento	Alps (Italy)	Lower course	9.38	0.004000	2580	109.0
Arno	Apennines Mts. (Italy)	Lower Valdarno	4.70	0.000200	8186	97.4
Arno	Apennines Mts. (Italy)	Upper Valdarno	2.79	0.001540	4080	56.7
Reno	Apennines Mts. (Italy)	Lower course	5.43	0.009000	3410	42.0
Morávka	Carpathian Mts. (Czech)	Lower reach	16.27	0.012435	146	3.7
Morávka	Carpathian Mts. (Czech)	Upper reach	3.27	0.010166	129	3.74
Dunajec	Carpathian Mts. (Poland)	Golkowice	1.15	0.001000	2047	37.8
Dunajec	Carpathian Mts. (Poland)	Zabno	2.68	0.001000	6735	85.5
Wisloka	Carpathian Mts. (Poland)	Labuzie	8.85	0.000656	2546	26.7
Skawa	Carpathian Mts. (Poland)	Wadowice	2.63	0.003100	835	12.7
Raba	Carpathian Mts. (Poland)	Gdów	3.68	0.001970	768	12.9
Wisloka	Carpathian Mts. (Poland)	Zolkow	4.67	0.003000	581	8.1
Tordera	Catalan Coastal Range (Spain)	Blanes Bridge	1.30	0.002000	894	4.2
Ain	Jura Mts. (France)	Lower course	2.22	0.001250	3672	130.0



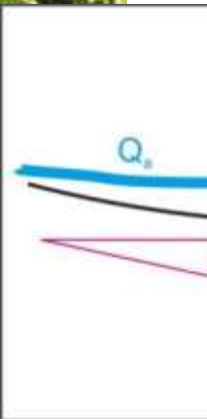
Postglacial River Incision French Western Alps 190 kyr of ~0.8 mm. yr⁻¹ (Brocard et al. 2003)

Bedrock incision of Indus Basin rivers 0,1-1,2 cm per year (Leland et al. 1998)

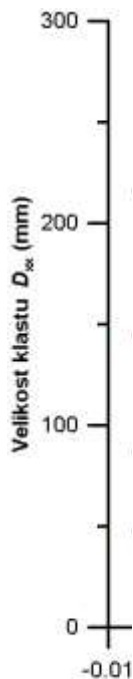
Mohelnice



Mohelnice



	Velikost eroze	Plocha původní	Výška současná	Výška původní	Max hloubka vývaříště	Vzdálenost nejhlubšího bodu	Délka vývaříště	Sklon nad stupněm	D16	D50	D84	D95
Velikost eroze	1.00	-0.13	-0.46	0.72	-0.01	-0.11	0.36	-0.01	0.50	0.43	0.58	0.50
Plocha původní	0	0.6054	0.0529	0.0007	0.9605	0.6678	0.1464	0.9726	0.0347	0.0714	0.0113	0.0338
Výška stupně současná	-0.13	1.00	0.08	-0.03	-0.05	-0.43	-0.14	0.18	-0.10	0.06	0.29	0.13
Výška stupně původní	0.6054	0	0.7574	0.8953	0.8294	0.0756	0.5723	0.4736	0.6935	0.8102	0.2375	0.5983
Maximální hloubka vývaříště	-0.46	0.08	1.00	0.15	0.42	0.29	-0.06	-0.19	0.06	0.02	-0.26	-0.26
Vzdálenost nejhlubšího bodu	0.0529	0.7574	0	0.5453	0.0813	0.2379	0.8111	0.4460	0.8082	0.9418	0.2931	0.2949
Délka vývaříště	0.72	-0.03	0.15	1.00	0.28	0.18	0.38	0.19	0.74	0.71	0.65	0.60
Sklon nad stupněm	0.0007	0.8953	0.5453	0	0.2627	0.4770	0.1162	0.4557	0.0005	0.0010	0.0036	0.0087
Maximální hloubka vývaříště	-0.01	-0.05	0.42	0.28	1.00	0.54	0.63	0.32	0.16	0.05	-0.16	0.06
Vzdálenost nejhlubšího bodu	0.9605	0.8294	0.0813	0.2627	0	0.0205	0.0047	0.1932	0.5346	0.8437	0.5317	0.8001
Délka vývaříště	-0.11	-0.43	0.29	0.18	0.54	1.00	0.46	0.12	0.09	0.09	-0.13	0.12
Sklon nad stupněm	0.6678	0.0756	0.2379	0.4770	0.0205	0	0.0561	0.6320	0.7301	0.7251	0.6171	0.6301
D16	0.36	-0.14	-0.06	0.38	0.63	0.46	1.00	0.25	0.11	0.11	0.01	0.29
D50	0.1464	0.5723	0.8111	0.1162	0.0047	0.0561	0	0.3234	0.6704	0.6581	0.9724	0.2394
D84	-0.01	0.18	-0.19	0.19	0.32	0.12	0.25	1.00	0.29	0.32	0.26	0.34
D95	0.9726	0.4736	0.4460	0.4557	0.1932	0.6320	0.3234	0	0.2494	0.1886	0.3057	0.1713
D16	0.50	-0.10	0.06	0.74	0.16	0.09	0.11	0.29	1.00	0.90	0.66	0.53
D50	0.0347	0.6935	0.8082	0.0005	0.5346	0.7301	0.6704	0.2494	0	0.0000	0.0031	0.0239
D84	0.43	0.06	0.02	0.71	0.05	0.09	0.11	0.32	0.90	1.00	0.83	0.67
D95	0.0714	0.8102	0.9418	0.0010	0.8437	0.7251	0.6581	0.1886	0	0	0.0000	0.0025
D16	0.58	0.29	-0.26	0.65	-0.16	-0.13	0.01	0.26	0.66	0.83	1.00	0.80
D50	0.0113	0.2375	0.2931	0.0036	0.5317	0.6171	0.9724	0.3057	0.0031	0.0000	0	0.0001
D84	0.50	0.13	-0.26	0.60	0.06	0.12	0.29	0.34	0.53	0.67	0.80	1.00
D95	0.0338	0.5983	0.2949	0.0087	0.8001	0.6301	0.2394	0.1713	0.0239	0.0025	0.0001	0





Skutečně spádový stupeň na Morávce funguje?

Jan Hradecký, Václav Škarpich, Tomáš Galia, Radek Dušek

Úvod

Príspevek reaguje na článok L. Roušara a kol.: Zhodnocení funkce přírodního spádového stupně na řece Morávce pod rozdělovacím objektem Výšň Lhoty (VH, 11/2012, s. 352–355). Na základě vlastního geomorfologického monitoringu a výzkumu vodního toku Morávky upozorňujeme na rizikové procesy

dány dlouhodobě přetrvávajícími přístupy, které jsou mezi vodohospodářskou komunitou hluboce zakořeněny. Autoři tvrdí, že k vybudování spádového stupně bylo přistoupeno z důvodu omezení urychlené hloubkové eroze. Přesto byly v objektu navrženy usměrňovače proudů v podobě drátokamenných košů a vřhonů. Tento protierozní prvek byl na

Transformace VH geomorfologického režimu řek v předpolí Moravskoslezských Beskyd

Václav Škarpich, Jan Hradecký, Tomáš Galia, Radek Dušek

Klíčová slova

karpatské štěrkonosné toky – flyš – úprava koryt – urychlená hloubková eroze – efekt hladové vody – donáška sedimentů

Carpathian Journal of Earth and Environmental Sciences, November 2012, Vol. 7, No. 4, p. 5-14

J. Hydrol. Hydromech., 59, 2011, 4, 238–250

DOI: 10.2478/v10098-011-0020-x

BEDLOAD TRANSPORT AND MORPHOLOGICAL EFFECTS OF HIGH-M FLOODS IN SMALL HEAD MORAVSKOSLEZSKÉ BES

Catena 111 (2013) 25–40

TOMÁŠ GALIA, JAN HRADECKÝ

Department of Physical Geography and
Czech Republic; Mailto: tom.galia@sez



ELSEVIER

Contents lists available at ScienceDirect

Catena

journal homepage: www.elsevier.com/locate/catena



Y¹
ence, University of Ostrava

Complex transformation of the geomorphic regime of channels in the forefield of the Moravskoslezské Beskydy Mts.: Case study of the Morávka River (Czech Republic)

Václav Škarpich*, Jan Hradecký, Radek Dušek

Department of Physical Geography and Geoecology, Faculty of Science, University of Ostrava, Chittausiho 10, 710 00 Ostrava, Czech Republic

CONNECTIVITY OF THE COARSEST FRACTION IN ARTICLE IN PRESS

GEOMOR-05340; No of Pages 12

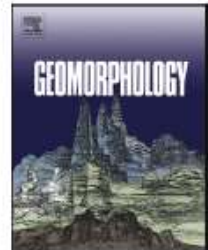
Geomorphology xxx (2015) xxx–xxx



Contents lists available at ScienceDirect

Geomorphology

journal homepage: www.elsevier.com/locate/geomorph



ACCEPTED MANUSCRIPT

Effect of grade-control structures at various stages of their destruction on bed sediments and local channel parameters

Tomáš Galia*, Václav Škarpich, Jan Hradecký, and Zdeněk Příbyla

Department of Physical Geography and Geoecology, Faculty of Science, University of Ostrava, Chittussiho 10, 710 00 Ostrava, Czech Republic

Závěry

- **Neomezovat dotaci a transport sedimentů.**
- **Omezit zásahy do koryta a extrakci akumulací.**
- **Pokud dojde k odtěžení, pak zajistit návrat sedimentu do toku – bilance!**
- **Narušovat akumulace – disturbance - management!**

**Nebát se inovací v managementu
a fluviálních geomorfologů 😊**



**Děkuji
za Vaši
pozornost...**